

# "Курсовая работа по дискретной математике"

Иван Кочкожаров, студент группы М8О-108Б-22

4 июня 2023 г.

1. Определить для орграфа, заданного матрицей смежности  $A = \begin{pmatrix} 0 & 1 & 0 & 1 \\ 0 & 0 & 0 & 1 \\ 1 & 1 & 0 & 1 \\ 0 & 0 & 0 & 0 \end{pmatrix}$

- а) матрицу односторонней связности;
- б) матрицу сильной связности;
- в) компоненты сильной связности;
- г) матрицу контуров.

**Решение.**

*Изображение графа:*

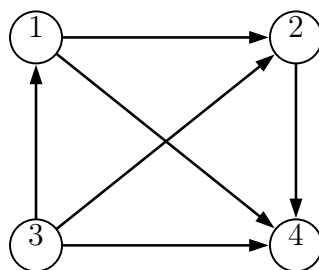


Рис. 1: Граф  $G$

*Матрица односторонней связности:*

$$A = A(D) = \begin{array}{c|cccc} & v_1 & v_2 & v_3 & v_4 \\ \hline v_1 & 0 & 1 & 0 & 1 \\ v_2 & 0 & 0 & 0 & 1 \\ v_3 & 1 & 1 & 0 & 1 \\ v_4 & 0 & 0 & 0 & 0 \end{array}.$$

$$A^2 = \begin{pmatrix} 0 & 1 & 0 & 1 \\ 0 & 0 & 0 & 1 \\ 1 & 1 & 0 & 1 \\ 0 & 0 & 0 & 0 \end{pmatrix} \begin{pmatrix} 0 & 1 & 0 & 1 \\ 0 & 0 & 0 & 1 \\ 1 & 1 & 0 & 1 \\ 0 & 0 & 0 & 0 \end{pmatrix} = \begin{pmatrix} 0 & 0 & 0 & 1 \\ 0 & 0 & 0 & 0 \\ 0 & 1 & 0 & 1 \\ 0 & 0 & 0 & 0 \end{pmatrix}.$$

$$A^3 = A \cdot A^2 = \begin{pmatrix} 0 & 1 & 0 & 1 \\ 0 & 0 & 0 & 1 \\ 1 & 1 & 0 & 1 \\ 0 & 0 & 0 & 0 \end{pmatrix} \begin{pmatrix} 0 & 0 & 0 & 1 \\ 0 & 0 & 0 & 0 \\ 0 & 1 & 0 & 1 \\ 0 & 0 & 0 & 0 \end{pmatrix} = \begin{pmatrix} 0 & 0 & 0 & 0 \\ 0 & 0 & 0 & 0 \\ 0 & 0 & 0 & 1 \\ 0 & 0 & 0 & 0 \end{pmatrix}.$$

$$\begin{aligned} T(D) = E \vee A \vee A^2 \vee A^3 &= \begin{pmatrix} 1 & 0 & 0 & 0 \\ 0 & 1 & 0 & 0 \\ 0 & 0 & 1 & 0 \\ 0 & 0 & 0 & 1 \end{pmatrix} \vee \begin{pmatrix} 0 & 1 & 0 & 1 \\ 0 & 0 & 0 & 1 \\ 1 & 1 & 0 & 1 \\ 0 & 0 & 0 & 0 \end{pmatrix} \vee \begin{pmatrix} 0 & 0 & 0 & 1 \\ 0 & 0 & 0 & 0 \\ 0 & 1 & 0 & 1 \\ 0 & 0 & 0 & 0 \end{pmatrix} \vee \\ &\vee \begin{pmatrix} 0 & 0 & 0 & 0 \\ 0 & 0 & 0 & 0 \\ 0 & 0 & 0 & 1 \\ 0 & 0 & 0 & 0 \end{pmatrix} = \begin{pmatrix} 1 & 1 & 0 & 1 \\ 0 & 1 & 0 & 1 \\ 1 & 1 & 1 & 1 \\ 0 & 0 & 0 & 1 \end{pmatrix}. \end{aligned}$$

Матрица двусторонней связности:

$$S(D) = T(D) \& [T(D)]^T = \begin{pmatrix} 1 & 1 & 0 & 1 \\ 0 & 1 & 0 & 1 \\ 1 & 1 & 1 & 1 \\ 0 & 0 & 0 & 1 \end{pmatrix} \& \begin{pmatrix} 1 & 0 & 1 & 0 \\ 1 & 1 & 1 & 0 \\ 0 & 0 & 1 & 0 \\ 1 & 1 & 1 & 1 \end{pmatrix} = \begin{pmatrix} 1 & 0 & 0 & 0 \\ 0 & 1 & 0 & 0 \\ 0 & 0 & 1 & 0 \\ 0 & 0 & 0 & 1 \end{pmatrix}.$$

$S(D) = E \Rightarrow$  в графе  $D$  нет контуров.

Компоненты сильной связности:

$$S_2(D) = S(D) = \begin{array}{c|c|c|c|c} & v_1 & v_2 & v_3 & v_4 \\ \hline v_1 & 1 & 0 & 0 & 0 \\ v_2 & 0 & 1 & 0 & 0 \\ v_3 & 0 & 0 & 1 & 0 \\ v_4 & 0 & 0 & 0 & 1 \end{array}$$

$$D_1 = (V_1, X_1), V_1 = \{v_1\}$$

$$A(D_1) = \begin{array}{c|c} & v_1 \\ \hline v_1 & 0 \end{array} \quad D_1 : \quad \textcircled{1}$$

$$S_2(D) = \begin{array}{c|c|c|c} & v_2 & v_3 & v_4 \\ \hline v_2 & 1 & 0 & 0 \\ v_3 & 0 & 1 & 0 \\ v_4 & 0 & 0 & 1 \end{array}$$

$$D_2 = (V_2, X_2), V_2 = \{v_2\}$$

$$A(D_2) = \begin{array}{c|c} & v_2 \\ \hline v_2 & 0 \end{array} \quad D_2 : \quad \textcircled{2}$$

$$S_3(D) = \begin{array}{c|c|c} & v_3 & v_4 \\ \hline v_3 & 1 & 0 \\ v_4 & 0 & 1 \end{array}$$

$$D_3 = (V_3, X_3), V_3 = \{v_3\}$$

$$A(D_3) = \begin{array}{c|c} & v_3 \\ \hline v_3 & 0 \end{array} \quad D_3 : \quad \textcircled{3}$$

$$S_4(D) = \begin{array}{c|c} & v_4 \\ \hline v_4 & 1 \end{array}$$

$$D_4 = (V_4, X_4), V_4 = \{v_4\}$$

$$A(D_4) = \begin{array}{c|c} & v_4 \\ \hline v_4 & 0 \end{array} \quad D_4 : \quad \textcircled{4}$$

Матрица контуров:

$$K(D) = A(D) \& S(D) = \begin{pmatrix} 0 & 1 & 0 & 1 \\ 0 & 0 & 0 & 1 \\ 1 & 1 & 0 & 1 \\ 0 & 0 & 0 & 0 \end{pmatrix} \begin{pmatrix} 1 & 0 & 0 & 0 \\ 0 & 1 & 0 & 0 \\ 0 & 0 & 1 & 0 \\ 0 & 0 & 0 & 1 \end{pmatrix} = \begin{pmatrix} 0 & 0 & 0 & 0 \\ 0 & 0 & 0 & 0 \\ 0 & 0 & 0 & 0 \\ 0 & 0 & 0 & 0 \end{pmatrix}$$

2. Используя алгоритм Терри, определить замкнутый маршрут, проходящий ровно по два раза (по одному в каждом направлении) через каждое ребро графа.

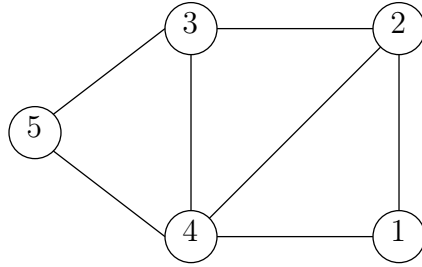


Рис. 2: Граф  $G$

### Решение.

Для решения этой задачи действуем в соответствии с алгоритмом Тэрри. Для реализации алгоритма помечаем первые заходящие в вершины ребра крестиками, которые наносим на ребрах ближе к той вершине в которую в первый раз заходим, а также указываем направления прохождения ребер и последовательность прохождения ребер. Алгоритм дает следующий возможный маршрут:

$$v_1 v_2 v_3 v_5 v_4 v_3 v_4 v_2 v_4 v_1 v_4 v_5 v_3 v_2 v_1$$

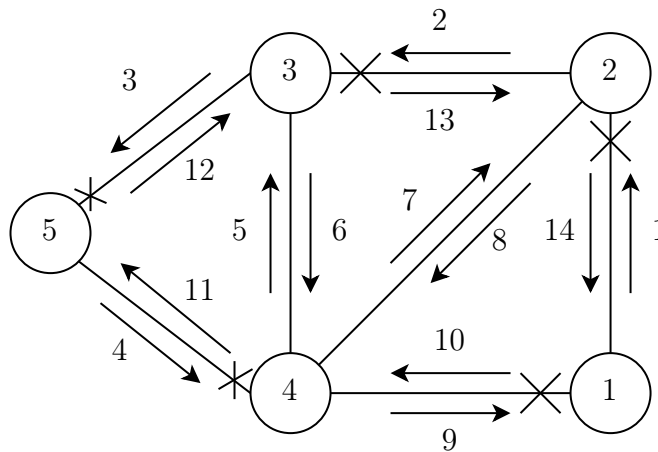


Рис. 3: Визуализация алгоритма Терри

3. Орграф  $D = (V, X)$ , где  $V = \{v_1, \dots, v_{10}\}$  задан матрицей смежности  $A(D)$ . Найти все минимальные пути  $v_1$  в  $v_8$ .

$$A = A(D) = \begin{array}{c|cccccccc} & v_1 & v_2 & v_3 & v_4 & v_5 & v_6 & v_7 & v_8 \\ \hline v_1 & 0 & 0 & 1 & 0 & 0 & 1 & 0 & 0 \\ v_2 & 1 & 0 & 1 & 1 & 1 & 1 & 0 & 0 \\ v_3 & 1 & 0 & 0 & 0 & 0 & 1 & 0 & 0 \\ v_4 & 1 & 1 & 1 & 0 & 0 & 1 & 0 & 0 \\ v_5 & 1 & 1 & 1 & 1 & 0 & 0 & 1 & 1 \\ v_6 & 0 & 0 & 1 & 1 & 0 & 0 & 0 & 0 \\ v_7 & 1 & 0 & 1 & 1 & 1 & 1 & 1 & 0 \\ v_8 & 1 & 0 & 1 & 1 & 0 & 0 & 1 & 0 \end{array}.$$

**Решение.**

Действуя согласно алгоритму фронта волны, последовательно определяем:

$$\begin{aligned} FW_0(v_1) &= \{v_1\}, FW_1(v_1) = D(v_1) = \{v_3, v_6\}, \\ FW_2(v_1) &= D(FW_1(v_1)) \setminus (FW_0(v_1) \cup FW_1(v_1)) = D(\{v_3, v_6\}) \setminus \{v_1, v_3, v_6\} = \\ &= \{v_1, v_3, v_4, v_6\} \setminus \{v_1, v_3, v_6\} = \{v_4\} \\ FW_3(v_1) &= D(FW_2(v_1)) \setminus (FW_0(v_1) \cup FW_1(v_1) \cup FW_2(v_1)) = \{v_1, v_2, v_3, v_6\} \setminus \\ &\setminus \{v_1, v_3, v_4, v_6\} = \{v_2\} \\ FW_4(v_1) &= D(FW_3(v_1)) \setminus (FW_0(v_1) \cup FW_1(v_1) \cup FW_2(v_1) \cup FW_3(v_1)) = \\ &= \{v_1, v_3, v_4, v_5, v_6\} \setminus \{v_1, v_2, v_3, v_4, v_6\} = \{v_5\} \\ FW_5(v_1) &= D(FW_4(v_1)) \setminus (FW_0(v_1) \cup FW_1(v_1) \cup FW_2(v_1) \cup FW_3(v_1) \cup FW_4(v_1)) = \\ &= \{v_1, v_2, v_3, v_4, v_7, v_8\} \setminus \{v_1, v_2, v_3, v_4, v_5, v_6\} = \{v_7, v_8\} \end{aligned}$$

Таким образом,  $v_8 \in FW_5(v_1)$ , а следовательно, согласно алгоритму фронта волны существует минимальный путь в орграфе  $D$  из  $v_1$  в  $v_8$  длины 5. Найдём все эти пути.

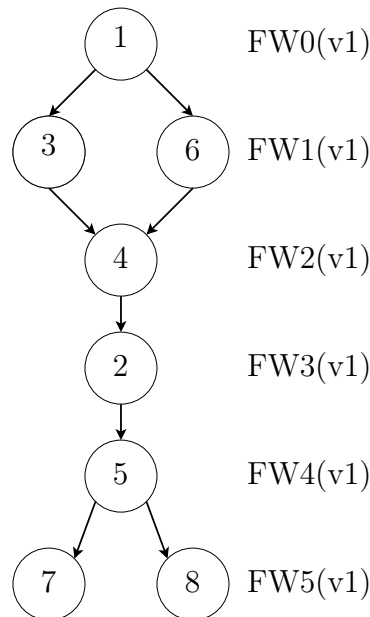


Рис. 4: Граф  $D'$

На рисунке 4 изображен подграф  $D'$  орграфа  $D$ , на котором последовательно изображены множества  $FW_k(v_1)$ ,  $k = 1, 2, 3, 4, 5$ , а так же дуги вида  $(v, v')$ , где для некоторого  $k \in \{0, 1, 2, 3, 4\}$ ,  $v \in FW_k(v_1)$ ,  $v' \in FW_{k+1}(v_1)$ , т.е. исходящие из вершин некоторого  $k$ -го фронта волны и заходящие в вершины следующего  $(k + 1)$ -го фронта волны.

Используя изображение  $D'$  нетрудно выделить все минимальные пути из  $v_1$  в  $v_8$  в орграфе  $D$ . При этом, следуя алгоритму фронта волны, находим эти минимальные пути, используя оргграф  $D'$  но двигаясь в  $D'$  в обратной последовательности (т.е. не из  $v_1$  в  $v_8$  а наоборот, из  $v_8$  в  $v_1$ ). Используя рисунок 4, получаем, что в любом минимальном пути из  $v_1$  в  $v_8$  соблюдается следующая последовательность вершин. Вершиной, предшествующей вершине  $v_8$  может быть  $v_5$ . Вершиной, предшествующей вершине 5 может быть  $v_2$ . Вершиной, предшествующей вершине  $v_2$  – вершина  $v_4$ . Вершиной, предшествующей вершине  $v_4$  – любая из вершин  $v_3, v_6$ . Вершиной, предшествующей вершинам  $v_3$  и  $v_6$  может быть только  $v_1$ . Этими условиями однозначно определяется множество минимальных путей из  $v_1$  в  $v_8$  которое компактно изображено на рисунке 5. На этом рисунке изображены все вершины, входящие в минимальные пути  $v_1$  в  $v_8$ . Для каждой из промежуточных вершин  $v$  показано множество вершин, которые могут ей предшествовать, а также соответствующие дуги (исходящие из вершин, предшествующих  $v$  и заходящие в  $v$ ). Из рисунка 5 видно, что всего существует два минимальных пути из  $v_1$  в  $v_8$ :  $v_1v_3v_4v_2v_5v_8$ ,  $v_1v_6v_4v_2v_5v_8$ .

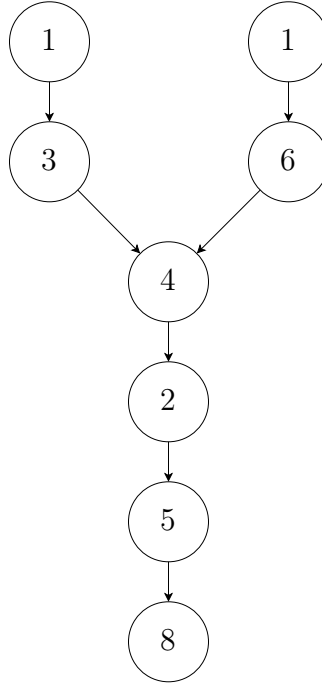


Рис. 5: Граф минимальных путей

4. Нагруженный оргграф  $D$  задан матрицей длин дуг  $C(D)$ . Найти минимальные пути из  $v_1$  во все достижимые вершины.

$$C(D) = \begin{pmatrix} \infty & 4 & \infty & \infty & 5 & \infty & \infty & \infty \\ 5 & \infty & 7 & 10 & 2 & \infty & \infty & \infty \\ \infty & \infty & \infty & 2 & \infty & 2 & \infty & \infty \\ 6 & \infty & \infty & \infty & \infty & \infty & 3 & 5 \\ 3 & 2 & \infty & \infty & \infty & 3 & 11 & \infty \\ 4 & \infty & 2 & \infty & \infty & \infty & 7 & \infty \\ 8 & \infty & \infty & 3 & \infty & \infty & \infty & 3 \\ \infty & \infty & \infty & \infty & 17 & \infty & \infty & \infty \end{pmatrix}$$

### Решение.

Воспользуемся алгоритмом Форда. Сначала определим таблицу величин  $\lambda_i^{(i)}, i = 1, 2, \dots, n - 1$ , где  $n = 8$

	$v_1$	$v_2$	$v_3$	$v_4$	$v_5$	$v_6$	$v_7$	$v_8$		$\lambda^{(0)}$	$\lambda^{(1)}$	$\lambda^{(2)}$	$\lambda^{(3)}$	$\lambda^{(4)}$	$\lambda^{(5)}$	$\lambda^{(6)}$	$\lambda^{(7)}$
$v_1$	$\infty$	4	$\infty$	$\infty$	5	$\infty$	$\infty$	$\infty$		<b>0</b>	0	0	0	0	0	0	0
$v_2$	5	$\infty$	7	10	2	$\infty$	$\infty$	$\infty$		$\infty$	4	4	4	4	4	4	4
$v_3$	$\infty$	$\infty$	$\infty$	2	$\infty$	2	$\infty$	$\infty$		$\infty$	$\infty$	11	<b>10</b>	10	10	10	10
$v_4$	6	$\infty$	$\infty$	$\infty$	$\infty$	$\infty$	3	5		$\infty$	$\infty$	14	13	<b>12</b>	12	12	12
$v_5$	3	2	$\infty$	$\infty$	$\infty$	3	11	$\infty$		$\infty$	<b>5</b>	5	5	5	5	5	5
$v_6$	4	$\infty$	2	$\infty$	$\infty$	$\infty$	7	$\infty$		$\infty$	$\infty$	<b>8</b>	8	8	8	8	8
$v_7$	8	$\infty$	$\infty$	3	$\infty$	$\infty$	$\infty$	3		$\infty$	$\infty$	16	15	15	15	15	15
$v_8$	$\infty$	$\infty$	$\infty$	$\infty$	17	$\infty$	$\infty$	$\infty$		$\infty$	$\infty$	$\infty$	19	18	<b>17</b>	17	17

$C(D)$

Таблица величин

Обозначим  $\lambda^{(k)} = (\lambda_1^{(k)}, \dots, \lambda_8^{(k)})^T$ , где  $k = 0, 1, \dots, 7$ . Это столбцы в таблице величин. Первая строка по таблице величин состоит из нулевых элементов ( $\lambda_1^{(k)} = 0, k = 0, 1, \dots, 7$ ), а первый столбец заполняем следующим образом:  $\lambda_i^{(0)} = \infty, i = 2, \dots, 8$ . Далее, используя формулу  $\lambda_j^{(k+1)} = \min_{1 \leq i \leq 8} \{\lambda_i^{(k)} + c_{ij}\}$  последовательно определяем элементы столбца  $\lambda^{(1)}$ , используя элементы столбца  $\lambda^{(0)}$  (а так же элементы матрицы  $C(D)$ ), затем находим элементы столбца  $\lambda^{(2)}$ , используя элементы столбца  $\lambda^{(1)}$  и т.д.

Длина минимального пути из  $v_1$  в  $v_8$  равна 17. Вершине  $v_8$  предшествует  $v_4$ , потому что  $\lambda_8^{(5)} = 17 = \lambda_4^{(4)} + c_{48} = 12 + 5$ . Вершине  $v_4$  предшествует  $v_3$  и т.д. В итоге получаем минимальный путь:  $v_1 v_5 v_6 v_3 v_4 v_8$  (в таблице выделен жирным шрифтом). Соответственно,  $v_1 v_5 v_6 v_3 v_4$ ,  $v_1 v_5 v_6 v_3$ ,  $v_1 v_5 v_6$ ,  $v_1 v_5$  - минимальные пути из  $v_1$  в соответствующие вершины. Минимальный путь из  $v_1$  в  $v_7$  находится аналогично. Получаем такой минимальный путь:  $v_1 v_5 v_6 v_7$ . Минимальный путь из  $v_1$  в  $v_2$ , очевидно,  $v_1 v_2$ .

5. Найти остовное дерево графа  $G$  с минимальной суммой длин входящих в него ребер.

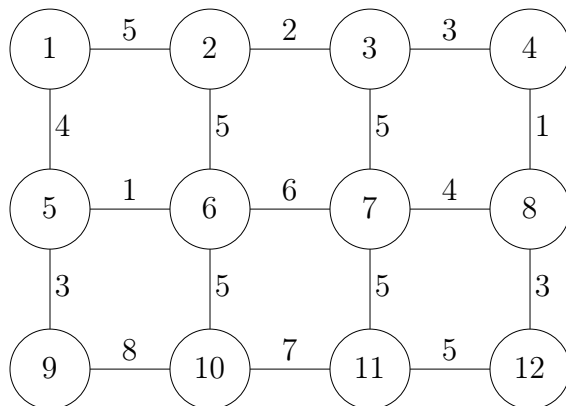


Рис. 6: Граф  $G$

**Решение.** Согласно алгоритму Краскала выбираем ребро  $\{v_5, v_6\}$  минимальной длины 1. Выделяем его жирной линией (см. рис. 7). Далее выбираем ребро минимальной длины, соединяющее либо  $v_5$  либо  $v_6$  с какой-нибудь новой (т.е. отличной от  $v_1, v_5$ ) вершиной графа  $G$  (т.е. выбираем среди ребер  $\{v_5, v_1\}, \{v_5, v_9\}, \{v_6, v_2\}, \{v_6, v_7\}, \{v_6, v_{10}\}$ ). Минимальную длину имеет ребро  $\{v_5, v_9\}$ . Выделяем его жирной линией (см. рис. 7). Далее выбираем ребро минимальной длины, соединяющее либо  $v_5$ , либо  $v_6$ , либо  $v_9$  с какой-нибудь новой вершиной графа (выбираем между  $\{v_9, v_{10}\}, \{v_6, v_{10}\}, \{v_6, v_7\}, \{v_6, v_2\}, \{v_5, v_1\}$ ). Минимальную длину имеет ребро  $\{v_5, v_1\}$ . Выделяем его жирной линией (см. рис. 7). Следующим ребром минимальной длины (если таких несколько, можно выбрать любое) среди всех возможных является  $\{v_1, v_2\}$ , затем  $\{v_2, v_3\}$ , далее  $\{v_3, v_4\}$ , далее  $\{v_4, v_8\}$ , далее  $\{v_8, v_{12}\}$ , далее  $\{v_7, v_8\}$ , далее  $\{v_7, v_{11}\}$  и, наконец,  $\{v_6, v_{10}\}$ . Выделено  $11 = 12 - 1 = n(G) - 1$  ребер, алгоритм окончен, выделяем минимальное остовное дерево графа (см. на рис. 7 подграф графа  $G$ , ребра которого выделены жирными линиями).

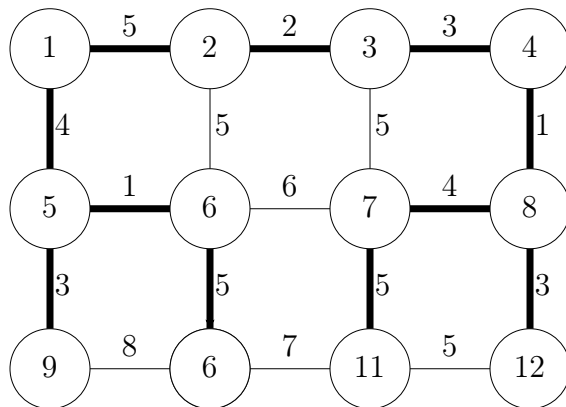


Рис. 7: Граф  $G$  с выделенным подграфом - минимальным остовным деревом

6. Пусть каждому ребру неориентированного графа изображенного на рис. 8 соответствует некоторый элемент электрической цепи. Составить линейно незави-



симые системы уравнений Кирхгофа для токов и напряжений. Пусть первому и пятому ребру соответствуют источники тока с ЭДС  $E_1$  и  $E_2$  (полярность выбирается произвольно), а остальные элементы являются сопротивлениями. Используя закон Ома, и, предполагая внутренние сопротивления источников тока равными нулю, получить общую систему уравнений для токов.

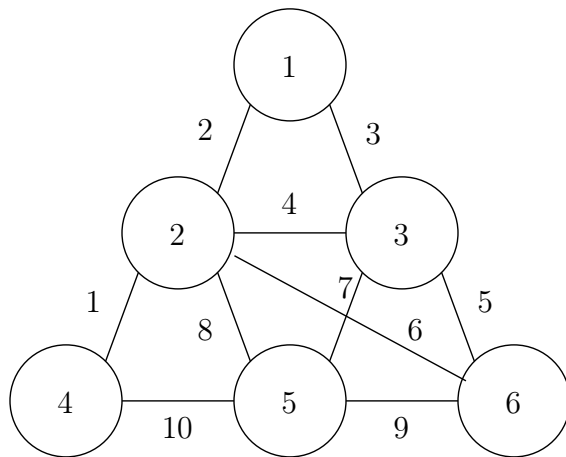


Рис. 8: Граф  $G$

**Решение.** Выделим произвольным образом остовное дерево графа. Для графа изображенного на рис. 8, одним из возможных остовных деревьев является дерево, изображенное на рис. 9 (пунктирными линиями изображены удаленные из ребра).

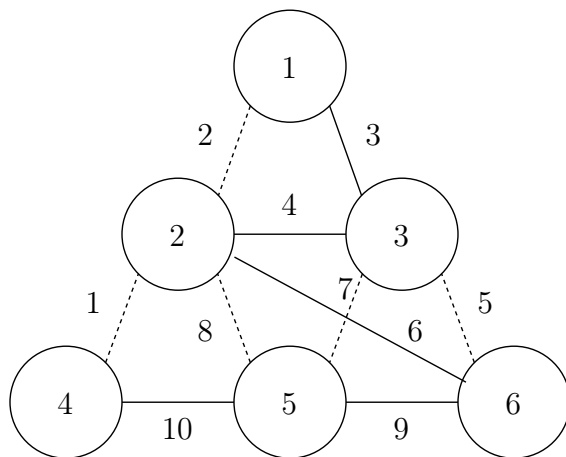


Рис. 9: Остовное дерево графа  $G$

Добавляя любое из ребер, не вошедших в остовное дерево графа  $G$  (изображенных на рис. 9 пунктирными линиями), мы получим граф с некоторым простым циклом. Всего в остовное дерево не вошли  $v(G) = m(G) - n(G) + 1$  ребер (для графа, изображенного на рис. 8,  $v(G) = 10 - 6 + 1 = 5$ ), а поэтому можем получить таким образом  $v(G) = 5$  простых циклов. Эти циклы различны в том смысле что каждый из них проходит через ребро (то самое, которое мы добавляли для выделения

данного цикла), через которое не проходит ни один другой цикл. Они образуют *цикловой базис графа  $G$* .

Для графа, изображенного на рис. 8 в цикловой базис войдут циклы:

$$\mu_1 = \mu_1(x_1) = x_1 x_6 x_9 x_{10}, \mu_2 = \mu_2(x_2) = x_2 x_3 x_4, \mu_3 = \mu_3(x_5) = x_5 x_6 x_4$$

$$\mu_4 = \mu_4(x_7) = x_7 x_9 x_6 x_4, \mu_5 = \mu_5(x_8) = x_8 x_6 x_9$$

Введем произвольную ориентацию на ребрах графа  $G$ . В результате каждое ребро  $x_j$  превратится в дугу  $\tilde{x}_j$  и, соответственно, множество ребер  $X$  в множество дуг  $\tilde{X}$ , а сам граф  $G = (V, X)$  в орграф  $D = (V, \tilde{X})$ . Для графа  $G$ , изображенного на рис. 8, в результате введения ориентации на его ребрах получаем, например, орграф  $D = (V, \tilde{X})$ , изображенный на рис. 10.

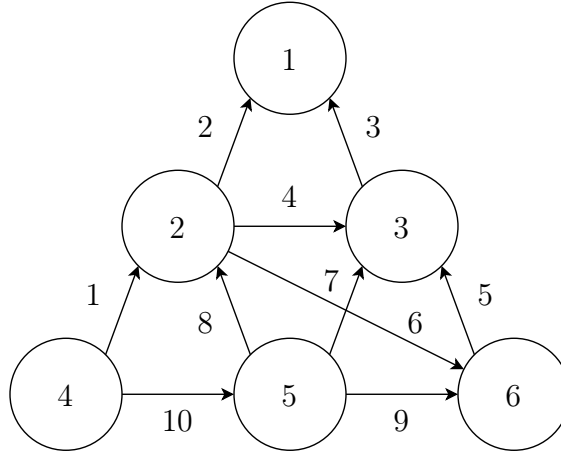


Рис. 10: Орграф  $D$

Для графа  $G$  с выделенным ранее цикловым базисом  $\mu_1, \mu_2, \mu_3, \mu_4, \mu_5$  и выбранной ориентацией ребер, соответствующей орграфу  $D$ , изображенному на рис. 10, цикломатическая матрица имеет вид:

$$C(G) = \begin{array}{c|cccccccccc} & * & * & & & * & & * & * & & \\ & x_1 & x_2 & x_3 & x_4 & x_5 & x_6 & x_7 & x_8 & x_9 & x_{10} \\ \hline \mu_1 & 1 & 0 & 0 & 0 & 0 & 1 & 0 & 0 & -1 & -1 \\ \mu_2 & 0 & 1 & -1 & -1 & 0 & 0 & 0 & 0 & 0 & 0 \\ \mu_3 & 0 & 0 & 0 & 1 & -1 & -1 & 0 & 0 & 0 & 0 \\ \mu_4 & 0 & 0 & 0 & 1 & 0 & -1 & -1 & 0 & 1 & 0 \\ \mu_5 & 0 & 0 & 0 & 0 & 0 & 1 & 0 & 1 & -1 & 0 \end{array}$$

При построении циклового базиса графа  $G$  мы поочередно добавляли к основному дереву графа  $G$  ребра  $x_1, x_2, x_5, x_7, x_8$ . Выделяем соответствующие этим ребрам столбцы в матрице  $C(G)$ . Из выделенных столбцов составим матрицу и найдем ее определитель.

$$\begin{vmatrix} 1 & 0 & 0 & 0 & 0 \\ 0 & 1 & 0 & 0 & 0 \\ 0 & 0 & -1 & 0 & 0 \\ 0 & 0 & 0 & -1 & 0 \\ 0 & 0 & 0 & 0 & 1 \end{vmatrix} \neq 0$$

Ранг матрицы  $C(G)$  равен числу строк, т.е.  $v(G)$ .

Пусть теперь граф  $G$  соответствует электрической цепи, где первому и пятому ребру соответствуют  $E_1$  и  $E_2$  (полярность выбирается произвольно), а остальные элементы являются сопротивлениями.

Выберем произвольным образом направления токов в элементах цепи (условные направления; после решения соответствующей системы уравнений знаки при величинах токов покажут истинные направления токов). Пусть эти направления соответствуют выбранной ранее ориентации ребер графа  $G$ . Впишем систему уравнений Кирхгофа для напряжений:

$$\mu_1 : -u_1 + u_6 - u_9 - u_{10} = 0$$

$$\mu_2 : u_2 - u_3 - u_4 = 0$$

$$\mu_3 : u_4 - u_5 - u_6 = 0$$

$$\mu_4 : u_4 - u_6 - u_7 + u_9 = 0$$

$$\mu_5 : u_6 + u_8 - u_9 = 0$$

или, с учетом закона Ома, а также того, что  $u_1 = E_1, u_5 = E_2$ , а номера сопротивлений соответствуют номерам ребер, имеем:

$$\begin{cases} -E_1 + i_6 r_6 - i_9 r_9 - i_{10} r_{10} = 0 \\ i_2 r_2 - i_3 r_3 - i_4 r_4 = 0 \\ i_4 r_4 - E_2 - i_6 r_6 = 0 \\ i_4 r_4 - i_6 r_6 - i_7 r_7 + i_9 r_9 = 0 \\ i_6 r_6 + i_8 r_8 - i_9 r_9 = 0 \end{cases}$$

Система уравнений Кирхгофа для токов имеет вид, где

$$C(G) = \begin{array}{c|cccccccccc} & \tilde{x}_1 & \tilde{x}_2 & \tilde{x}_3 & \tilde{x}_4 & \tilde{x}_5 & \tilde{x}_6 & \tilde{x}_7 & \tilde{x}_8 & \tilde{x}_9 & \tilde{x}_{10} \\ \hline v_1 & 0 & 1 & 1 & 0 & 0 & 0 & 0 & 0 & 0 & 0 \\ v_2 & 1 & -1 & 0 & -1 & 0 & -1 & 0 & 1 & 0 & 0 \\ v_3 & 0 & 0 & -1 & 1 & 1 & 0 & 1 & 0 & 0 & 0 \\ v_4 & -1 & 0 & 0 & 0 & 0 & 0 & 0 & 0 & 0 & -1 \\ v_5 & 0 & 0 & 0 & 0 & 0 & 0 & -1 & -1 & -1 & 1 \\ v_6 & 0 & 0 & 0 & 0 & -1 & 1 & 0 & 0 & 1 & 0 \end{array}$$

При этом для достижения линейной независимости системы уравнений Кирхгофа для токов необходимо исключить из системы любое уравнение, например, второе. В результате система линейно независимых уравнений Кирхгофа для токов имеет вид:

$$\begin{cases} i_2 + i_3 = 0 \\ -i_3 + i_4 + i_5 + i_7 = 0 \\ -i_1 - i_{10} = 0 \\ -i_7 - i_8 - i_9 + i_{10} = 0 \\ -i_5 + i_6 + i_9 = 0 \end{cases}$$

Таким образом, общей системой уравнений для токов является объединение систем. Заметим, что полученная объединенная система уравнений состоит из девяти уравнений относительно девяти неизвестных  $i_1, i_2, \dots, i_{10}$ : после нахождения которых нетрудно определить  $u_1, u_2, \dots, u_{10}$ .

7. Построить максимальный поток по транспортной сети.

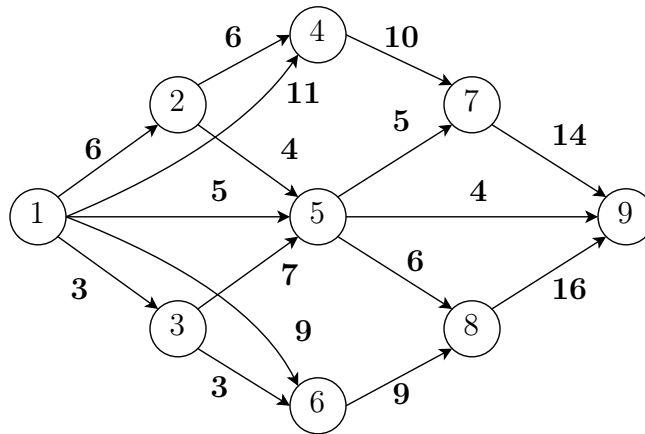


Рис. 11: Граф транспортной сети  $D$

**Решение.** Начинаем с нулевого потока  $\phi_0$ . Каждой новой цепи из  $v_1$  в  $v_n = v_9$  будем ставить в соответствие ее очередной номер, т.е. будем обозначать эти цепи через  $\eta_1, \eta_2$  и т.д. Соответственно, после нахождения цепи  $\eta_1$  поток  $\phi_0$  изменится на поток  $\phi_1$ . После нахождения цепи  $\eta_2$  поток  $\phi_1$  изменится на  $\phi_2$  и т.д. Числа, на которые увеличиваем потоки по дугам из  $\eta_i$  обозначаем через  $\alpha_i$ . Насыщенные дуги при изображении транспортной сети  $D$  с очередным потоком  $\phi_i$  помечаем символом  $\times$ . На рис. 12 приведены изображения орграфа  $D$  с потоком  $\phi_0$ , а так же вспомогательного орграфа  $D'$ , который на этом этапе совпадает с  $D$ .

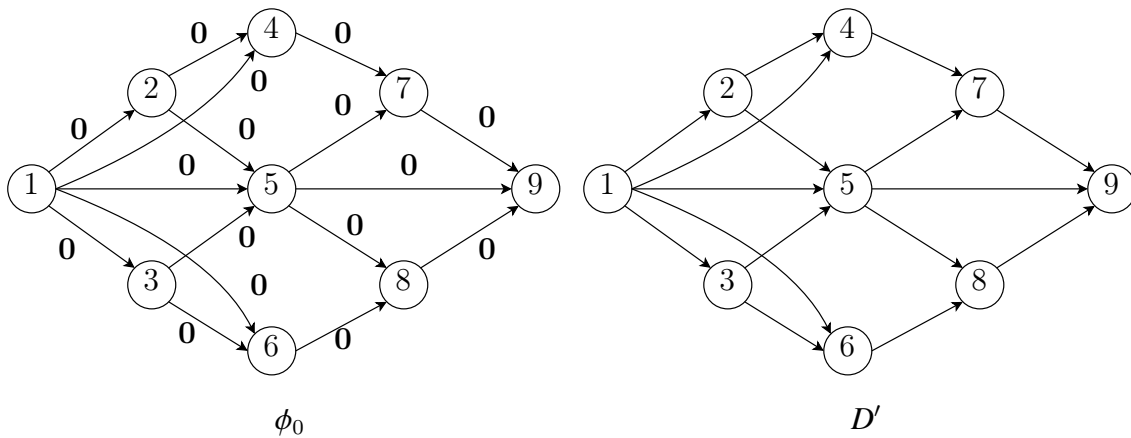


Рис. 12

Выделяем в  $D'$  простую цепь  $\eta_1 = v_1 v_2 v_4 v_7 v_9$  из  $v_1$  в  $v_9$ . Увеличиваем поток  $\phi(x)$  по каждой дуге  $x$  из  $\eta_1$  на одинаковую величину  $\alpha_1 = 6$  до насыщения дуг  $(v_1 v_2)$  и  $(v_2 v_4)$ . На рис. 13 приведены изображения орграфа  $D$  с потоком  $\phi_1$ , а также соответствующего этому потоку вспомогательного орграфа  $D'$ .

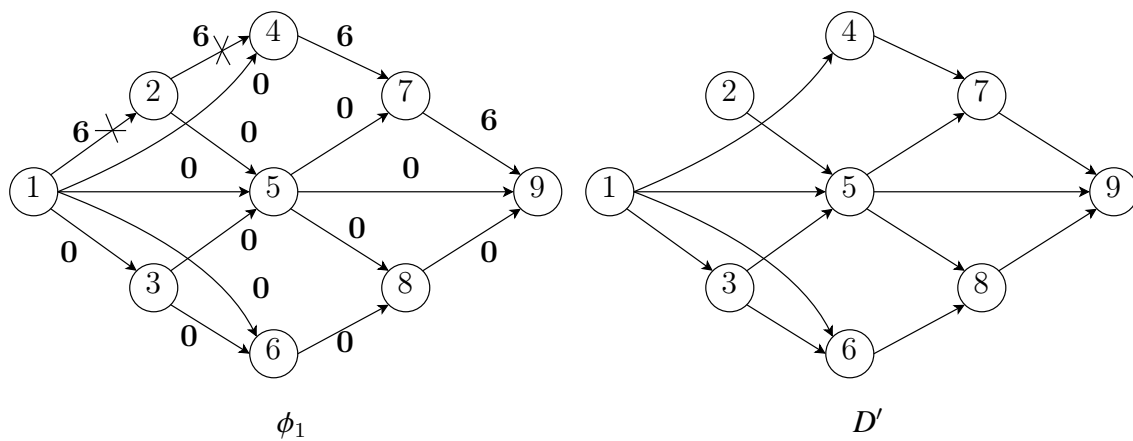


Рис. 13

Продолжаем выделять произвольные простые цепи и максимально увеличивать поток на них, а затем удалять насыщенные дуги, пока сток перестанет быть доступным из истока.

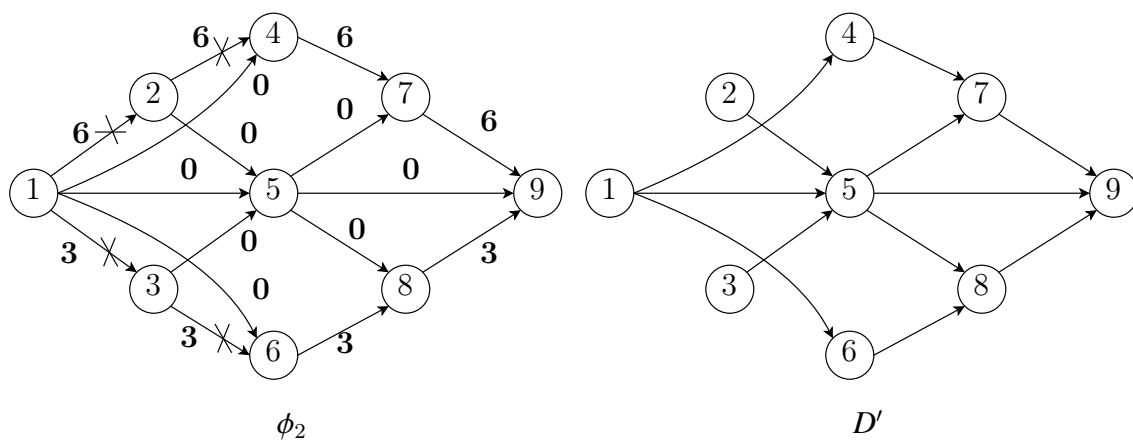


Рис. 14

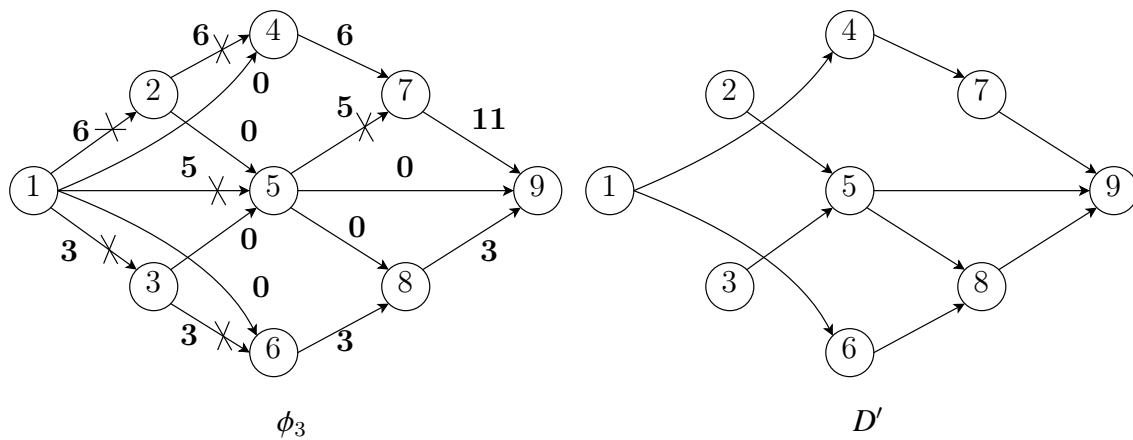


Рис. 15

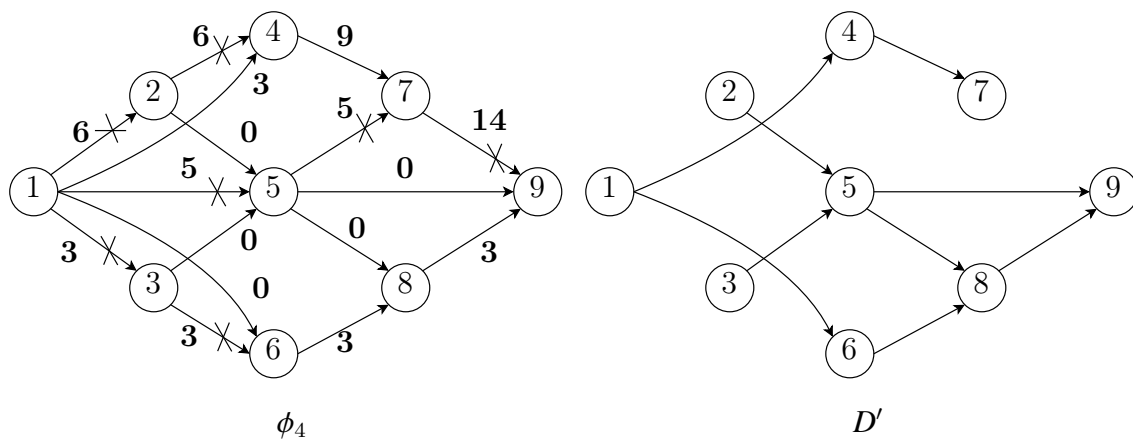


Рис. 16

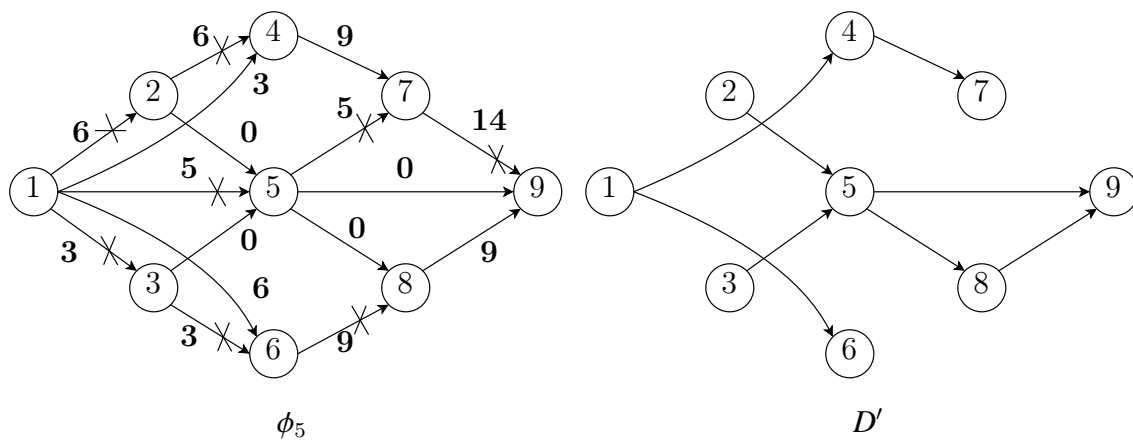


Рис. 17: Орграф приращений  $I(D, \phi)$  и модифицированный орграф

Мы видим, что для орграфа  $D'$ , соответствующего потоку  $\phi_2$  не существует пути из источника в сток, а следовательно,  $\phi_3$  – полный поток. Для увеличения полного потока до максимального нужно построить орграф приращений.

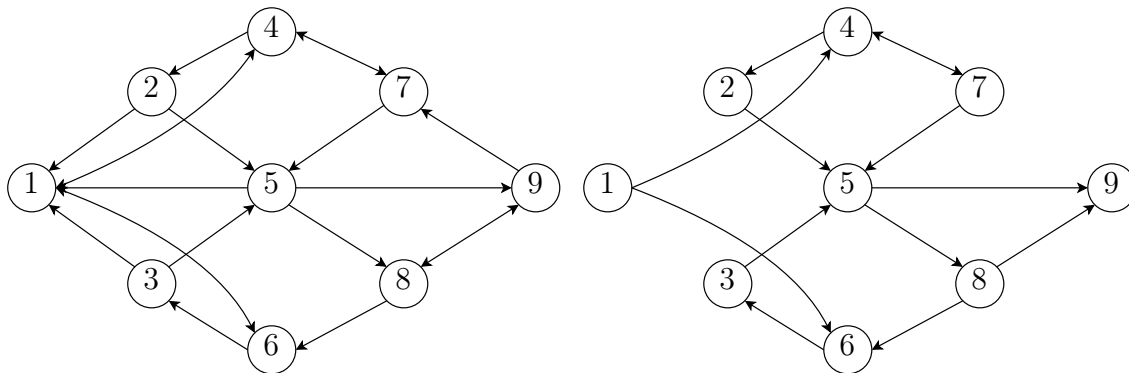


Рис. 18

Для построения максимального потока воспользуемся алгоритмом Форда-Фалкерсона. Начинаем с ранее построенного потока  $\phi_5$ . Выделяем в  $I(D, \phi)$  простую цепь  $\eta_6 =$

$v_1v_6v_3v_5v_9$ . Увеличиваем потоки по дугам из  $\eta_4$  на одинаковую величину, равную 3, до насыщения  $(v_1, v_6)$ , при этом поток по дугам  $(v_3, v_5)$ ,  $(v_5, v_9)$  не превышает пропускной способности, а по дуге  $(v_3, v_6)$  уменьшается на 3. В результате поток  $\phi_5$  меняется на поток  $\phi_6$ . Далее строим модифицированный орграф приращений.

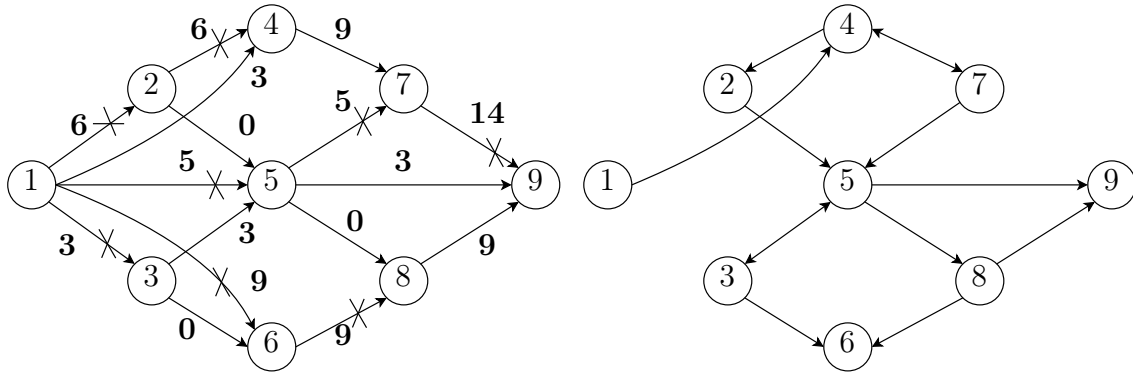


Рис. 19

Выполняем те же самые действия для цепи  $v_1v_4v_2v_5v_8v_9$  (увеличиваем поток по ней на 4, получаем  $\phi_7$ )

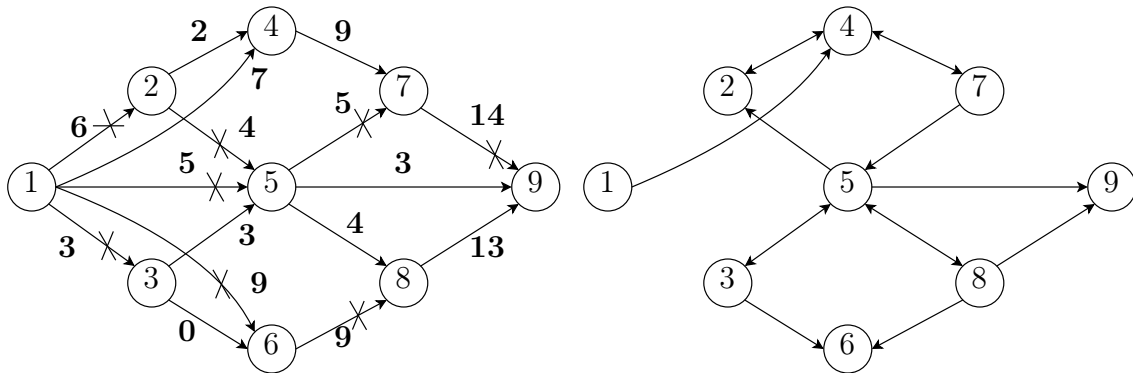


Рис. 20

Выполняем те же самые действия для цепи  $v_1v_4v_7v_5v_9$  (увеличиваем поток на 1 по ней на 1, получаем  $\phi_8$ )

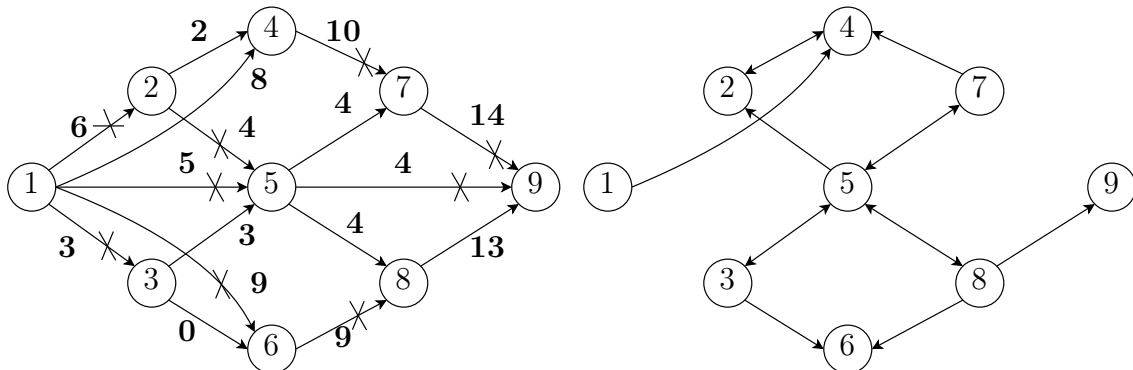


Рис. 21

Поскольку в  $I(D, \phi_8)$  вершина  $v_9$  не достижима из  $v_1$ , то согласно алгоритму -  $\phi_8$  - искомый максимальный поток, при этом  $\bar{\phi}_8 = 31$ .

8. Построение функции Гранди графа. Изучить возможность построения функции Гранди для графа, содержащего контуры

## 1 Алгоритм

### 1.1 Определение функции Гранди

Рассмотрим орграфа  $D = (V, X)$ . Функция  $g(v)$ , ставящая в соответствие каждой вершине  $v \in V$  целое число  $g(v) \geq 0$ , называется *функцией Гранди* для орграфа  $D$ , если в каждой вершине  $v \in V$  число  $g(v)$  является минимальным из всех целых неотрицательных чисел, не принадлежащих множеству  $\{g(w) | w \in D(v)\}$ , и  $g(v) = 0$  при  $D(v) = \emptyset$ . Если для орграфа  $D$  существует функция Гранди, то говорят, что орграф *допускает* (в противном случае - *не допускает*) функцию Гранди. Не всякий орграф  $D$  допускает функцию Гранди, а если допускает, то она не обязательно единственная.

### 1.2 Описание алгоритма

Алгоритм находит все возможные функции Гранди для орграфа  $D = (V, X)$ , или определяет, что она для него недопустима. Граф вводится в виде матрицы смежности  $n \times n$ .

1. Разбить граф на уровни  $V_0, V_1 \dots V_n$ , используя алгоритм разбиения орграфа на уровни. Если разбиение удалось, перейти к пункту 2. Иначе, перейти к пункту 3 (т.к. заданный орграф имеет контуры).
2. Определяем функцию Гранди для первых двух уровней:  $\forall v \in V_0, g(v) = 0; \forall v \in V_1, g(v) = 1$ . Далее находим значения функции на каждом уровне  $V_i, i \geq 2$ , используя значения функции на предыдущих уровнях. Функция Гранди будет однозначно определена для этого графа.
3. Находим ядра графа  $N$  ( $\forall v \in N, N \cap D(v) = \emptyset; \forall v \in V \setminus N, N \cap D(v) \neq \emptyset$ ). Для этого можно воспользоваться методом Магу. Значения функции Гранди в вершинах, входящих в ядро равны 0. Рекурсивно определяем значения функции Гранди в остальных вершинах. Повторив эти действия для всех ядер, получаем все возможные функции Гранди, допустимые для этого графа. Если ядер нет — функция Гранди недопустима.



### 1.3 Обоснование алгоритма

1. Если у орграфа  $D = (V, X)$  нет контуров, то разбиение на уровни  $V_0, V_1 \dots V_r$ :

$$\begin{aligned} V_0 &= \{v \in V \mid D(v) = \emptyset\}; \\ V_1 &= \{v \in V \setminus V_0 \mid D(v) \subseteq V_0\}; \\ V_2 &= \{v \in V \setminus (V_0 \cup V_1) \mid D(v) \subseteq V_0 \cup V_1\}; \\ &\dots \\ V_r &= \{v \in V \setminus \bigcup_{k=0}^{r-1} V_k \mid D(v) \subseteq \bigcup_{k=0}^{r-1} V_k\}, \\ r &= \min\{n \in \mathbb{N} \mid V \setminus \bigcup_{k=0}^n V_k = \emptyset\} \end{aligned}$$

являются непустыми множествами, образующими разбиение множества вершин  $V$  (теорема 4.8 и утверждение 4.53 из "Курса дискретной математики").

Для нахождения этих уровней можно воспользоваться специальным алгоритмом, который так же может показать, что орграф имеет контуры, и разбиение невозможно. Для начала надо выписать матрицу смежности графа  $A(D)$ . Под матрицей образуем строку  $\Lambda_0$ , в  $i$ -м месте которой укажем число единиц в  $i$ -ой строке матрицы  $A(D)$ . Уровень образуют вершины, которым в строке  $\Lambda_0$  соответствует число 0. Если  $V = V_0$ , то  $V_0$  - единственный уровень орграфа. Иначе, под  $\Lambda_0$  образуем  $\Lambda_i$ , ставя под нулям из  $\Lambda_{i-1}$  символы  $\times$  (и под символами  $\times$  тоже ставим  $\times$ ) и при подсчете единиц, не учитываем те, которые находятся над  $\times$ , до тех пор, пока вся  $\Lambda_i$  не будет состоять из 0 и  $\times$ . Тогда  $\Lambda_i$  будет соответствовать  $V_i$  состоящий из вершин, которым в  $\Lambda_i$  соответствует число 0. Если в течение алгоритма появится строка без 0, то это говорит о том, что орграф содержит контуры (алгоритм 4.9 и утверждение 4.54 из "Курса дискретной математики").

2. Напомним, что для орграфа  $D(V, X)$  функция Гранди определяется рекурсивно:  $g(v) = \min(\{n \in \mathbb{Z} \mid n \geq 0\} \setminus \{g(w) \mid w \in D(v)\})$  и  $g(v) = 0, D(v) = \emptyset$ .

Рассмотрим два случая. В первом случае орграф, для которого необходимо определить функцию Гранди, не имеет контуры, а во втором он с контурами.

Докажем следующее: *Если орграф допускает функцию Гранди, то найдется вершина  $v \in V$  такая, что  $g(v) = 0$ .*

Пусть в орграфе  $D \forall v \in V, g(v) > 0$ . Рассмотрим произвольную вершину  $w \in V$ . Тогда, с одной стороны, в силу нашего утверждения имеем  $g(w) > 0$ , а с другой стороны, используя это же утверждение получаем, что либо  $D(w) = \emptyset$ , либо  $\forall v \in D(w), g(v) > 0$ , а следовательно, по определению функции Гранди,  $g(w) = 0$ , т.е. противоречие.

3. В первом случае орграф *допускает и притом единственную функцию Гранди*. Множество вершин разбито на уровни  $V_0, \dots, V_r$ . По определению функции Гранди, если она допустима для  $D$ , то  $\forall v \in V_0, g(v) = 0; \forall v \in V_1, g(v) = 1$ . Заметим, что значения функции Гранди на каждом уровне  $V_i$ , где  $i \geq 2$ , однозначно находятся по ее значениям на предыдущих уровнях  $V_0, \dots, V_{i-1}$  (поскольку  $\forall v \in V_i, D(v) \subseteq$

$\bigcup_{k=0}^{i-1} V_k$ ), а следовательно, исходя из определенных значений функции для вершин нулевого и первого уровней, ее можно однозначно определить на всех последующих уровнях.

4. Для рассмотрения второго случая докажем следующую теорему: *Если орграф  $D = (V, X)$  допускает функцию Гранди  $g(v)$ , то множество вершин  $N = \{v \in V | g(v) = 0\}$  является ядром этого орграфа.*

Покажем, что множество  $N$  удовлетворяет условиям (см. определение ядра):

1.  $\forall v \in N, N \cap D(v) = \emptyset$ ;
2.  $\forall v \in V \setminus N, N \cap D(v) \neq \emptyset$ .

Докажем сначала, что выполняется первое условие. Пусть  $v \in N$ . Тогда  $g(v) = 0$ . Если предположить, что  $N \cap D(v) \neq \emptyset$ , то существует вершина  $w \in N \cap D(v)$ . Но тогда из  $w \in N$  имеем  $g(w) = 0$ , а из  $w \in D(v)$  получаем, что не может выполняться равенство  $g(v) = 0$ . Данное противоречие подтверждает справедливость первого условия.

Докажем теперь, что выполняется второе условие. Пусть  $v \in V \setminus N$ . Тогда  $g(v) \neq 0$ . Если предположить, что  $N \cap D(v) = \emptyset$ , то по определению функции Гранди должно выполняться равенство  $g(v) = 0$ , т.е. пришли к противоречию, а значит  $N \cap D(v) \neq \emptyset$ .

Из этой теоремы следует то, что количество ядер графа равно количеству различных функций Гранди, которые он допускает. Поэтому, если найти ядра  $N_i$  графа с помощью метода Магу, можно рекурсивно определить  $i$  функций Гранди для остальных, учитывая, что она равна 0 в вершинах принадлежащих  $N_i$ . А если ядер нет, то нарушается ранее доказанное утверждение существования функции Гранди.

5. На ЭВМ проще всего реализовать метод Магу следующим образом. КНФ, получаемые из матрицы  $A(D)$  смежности по специальным формулам.

$$D = (V, X), X \neq \emptyset, U \subseteq V$$

$$\varepsilon = \begin{cases} 1, & \text{если } v_i \in U \\ 0, & \text{если } v_i \notin U \end{cases}$$

$$\bigwedge_{i=1}^n \bigwedge_{j=1}^n (\bar{a}_{ij} \vee \bar{\varepsilon}_i \vee \bar{\varepsilon}_j) = 1 \Rightarrow U \text{ — внутренне устойчивое множество}$$

$$\bigwedge_{i=1}^n (\varepsilon_i \vee \bigvee_{a_{ij}=1} \varepsilon_j) = 1 \Rightarrow U \text{ — внешне устойчивое множество}$$

$$\bigwedge_{i=1}^n \bigwedge_{j=1}^n (\bar{a}_{ij} \vee \bar{\varepsilon}_i \vee \bar{\varepsilon}_j) \wedge \bigwedge_{i=1}^n (\varepsilon_i \vee \bigvee_{a_{ij}=1} \varepsilon_j) = 1 \Rightarrow U \text{ — ядро}$$

Эту КНФ нужно привести к СДНФ с помощью построения таблиц истинности. Получаем СДНФ, которая будет соответствовать всем ядрам графа.

## 2 Программа алгоритма

Для работы скрипта необходимы библиотеки NetworkX и Matplotlib. На вход требуется корректная матрица смежности графа. Если функция допустима, то в отдельном окне откроется граф с подписанными значениями функции Гранди в вершинах. При закрытии окна откроется следующая возможная функция (если такая существует). Иначе, скрипт сообщит о том, что функция недопустима.

```
#!/usr/bin/env python3
import matplotlib.pyplot as plt
import networkx as nx
from itertools import product

class InvalidMatrixException(Exception):
    pass

def input_digraph() -> list[list[int]]:
    first_line = list(map(int, input().split()))
    set_line = set(first_line)

    if set_line != set([1]) and set_line != set([0]) \
       and set_line != set([0, 1]):
        raise InvalidMatrixException("Adjacency_matrix_"
                                     "can_only_contain_0_or_1")

    n = len(first_line)

    m = [first_line]

    for _ in range(n-1):
        line = list(map(int, input().split()))
        set_line = set(line)
        if set_line != set([1]) and set_line != set([0]) \
           and set_line != set([0, 1]):
            raise InvalidMatrixException("Adjacency_matrix_"
                                         "can_only_contain_0_or_1")

        if len(line) != n:
            raise InvalidMatrixException("Invalid_matrix_line_size")
        m.append(line)
    return m

def digraph_levels(m: list[list[int]]):
    levels = []
    n = len(m[0])
    lmbd = [sum(i) for i in m]
    levels.append([i for i in range(n) if lmbd[i] == 0])
    if lmbd == [0]*n: return [lmbd]
    while (set(lmbd) != set([0])):
        new_lmbd = [0]*n
```

```

    level = []
    has_circuit = True
    for i in range(n):
        s = 0
        for j in range(n):
            if lmbd[j] != 0:
                s += m[i][j]
        new_lmbd[i] = s
        if lmbd[i] != 0 and s == 0:
            level.append(i)
            has_circuit = False
        if has_circuit: return False
    lmbd = new_lmbd
    levels.append(level)
return levels

def grundy_from_levels(m, levels):
    n = len(m[0])
    grundy_values = [0]*n
    if len(grundy_values) > 1:
        for v in levels[1]:
            grundy_values[v] = 1
        for level in levels[2:]:
            for v in level:
                temp = [dv for i, dv in enumerate(grundy_values)
                        if m[v][i] == 1]
                temp = set(temp)
                mex = 0
                while mex in temp:
                    mex += 1
                grundy_values[v] = mex
    return grundy_values

def graph_cores(m):
    n = len(m)
    cnf1 = []
    for i in range(n):
        for j in range(n):
            if m[i][j] == 1:
                cnf1.append((i, j))

    cnf2 = []
    for i in range(n):
        dis = [i]
        for j in range(n):
            if m[i][j] == 1:
                dis.append(j)

```

```

        cnf2.append(dis)

cores = []

for line in product([0,1], repeat=n):
    res = True
    for dis in cnf1:
        res = res and (not line[dis[0]]
                        or not line[dis[1]])
    for dis in cnf2:
        res = res and any(line[i] for i in dis)
    if res == True:
        cores.append(line)

for i in range(len(cores)):
    cores[i] = [j for j,v in enumerate(cores[i]) if v==1]
return cores

def rec_grundy(matrix, vertex, core):
    if vertex in core:
        return 0
    values = [rec_grundy(matrix, i, core) for
              i in range(len(matrix)) if matrix[vertex][i]]
    result = 0
    while result in values:
        result += 1
    return result

def graph_display(m, grundy):
    G = nx.DiGraph()
    n = len(m[0])
    for i in range(n):
        G.add_node(str(i+1)+'_('+str(grundy[i]) + ")")
        for j in range(n):
            if m[i][j] == 1:
                G.add_edge(str(i+1)+'_('+str(grundy[i]) + ')',
                           str(j+1)+'_('+str(grundy[j]) + ')')
    nx.draw_planar(G, with_labels=True, node_size=1300,
                   font_weight="bold")
    plt.show()

def main():
    m = input_digraph()
    l = digraph_levels(m)
    n=len(m)
    if l:
        grundy = grundy_from_levels(m,l)

```

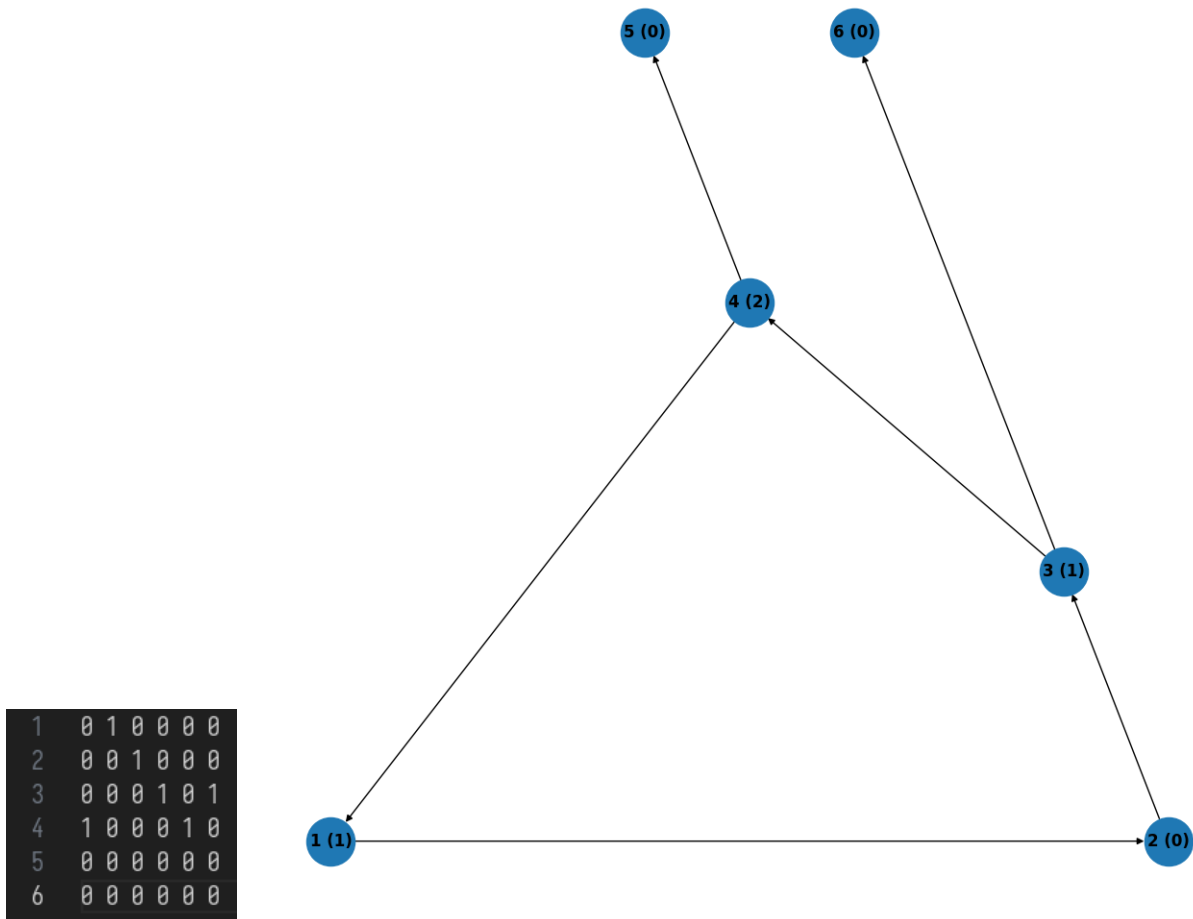
```

graph_display(m, grundy)
else:
    print("The_digraph_contains_circuits ,_"
          "proceed_to_the_search_for_the_cores")
    cores = graph_cores(m)
    if cores == []:
        print("Grundy's_function_is "
              "invalid_for_this_digraph")
    else:
        for core in cores:
            grundy = [rec_grundy(m, i, core)
                      for i in range(n)]
            graph_display(m, grundy)

if __name__ == "__main__":
    main()

```

### 3 Примеры



## 4 Оценка сложности

Для графа без контуров с количеством вершин равным  $n$  алгоритм работает за  $O(n^3)$ , а для графа с контурами — за  $O(2^n)$  (нахождение ядер графа — NP-полная задача, поэтому переборный алгоритм является разумным решением).